

## 論 文

## ハッシングの技法を用いた数式処理アルゴリズムと その擬似ブール計画法への応用\*

今井正治\*\* 吉田雄二\*\*\* 福村晃夫\*\*

### Abstract

In this paper we propose some algorithms for formula manipulation of Boolean functions and pseudo-Boolean functions. They are based upon the hashing technique. It takes  $O(m^2)$  computation time to simplify a (pseudo-) Boolean function using conventional algorithms, where  $m$  is the number of terms involved in the function. On the other hand, our algorithms can reduce the computation time to  $O(m)$ . The performance is attained by two facts.

The one is that the size of the hash table is adaptively changed according to the number of terms involved in the function processed, and the other that the test whether a term consists of a single variable or not is made quite easily during the process to hash the term into the table.

The performance of the algorithms is checked through some experiments, and also the algorithms are successfully applied to the Pseudo-Boolean Programming algorithm.

### 1. まえがき

ブール関数、あるいは擬似ブール関数\*\*\*\*を用いて与えられる問題を、計算機で解くとき、これらの関数を簡単化するための数式処理がしばしば必要となる。従来の方法によれば、この簡単化は、たとえば積和形のブール関数では関数を構成する積項どうしの比較にもとづいて行われることになるが、この方法では比較回数が項数( $m$ )の $2$ 乗に比例するため処理に要する時間も $O(m^2)$ となって大規模な問題を扱うのは困難となる。

本論文では、この点を考慮して、ハッシングの技法を用いた数式処理アルゴリズムを提案し、それを擬似ブール計画法<sup>3)</sup>に適用することを試みる。このアルゴリズムではハッシュ・テーブルの大きさが式の項数に

応じて動的に変更されることで、処理時間が $O(m)$ となり、しかも、ハッシュ関数として特別な形のものが採用されることで積項が単一変数からなるか否かの判定が高速化される、などの理由により、本アルゴリズムは、特に大規模な数式処理に適していると考えられる。

以下では、初めに2.で、ここで扱われるブール関数および擬似ブール関数を定義し、それらの計算機記憶装置内部での表現(以下では内部表現と呼ぶ)の方法について述べる。3.では、ハッシングの技法を用いた数式処理アルゴリズムと、従来の数式処理アルゴリズムについて述べ、4.では、これらのアルゴリズムによる数式の処理時間の理論的評価を行う。最後に、5.では、これらのアルゴリズムによる数式処理の時間を測定した結果と、これらのアルゴリズムを用いて実現された擬似ブール計画法のアルゴリズムの効率の比較結果について報告する。

### 2. ブール関数、擬似ブール関数および それらの内部表現

ここでは初めに、以下で扱われるブール関数および

\* Algorithms for Formula Manipulation based upon Hashing Technique and their Applications to Pseud-Boolean Programming, by Masaharu IMAI, Teruo FUKUMURA (Faculty of Engineering, Nagoya University) and Yuuji YOSHIDA (Computation Center, Nagoya University)

\*\* 名古屋大学工学部情報工学科

\*\*\* 名古屋大学大型計算機センター

\*\*\*\* 擬似ブール関数の定義は2.1に与えられる。

擬似ブール関数を定義し、それらが擬似ブール計画法の中で占める役割について述べる。次にこれらに対して、効率的な処理を目的とした内部表現を与える。

## 2.1 ブール関数と擬似ブール関数の処理

$L_2 \triangleq \{0, 1\}$ ,  $L^{L_2} \triangleq \{0, 1\}^n$  として、 $x_j, (j=1, 2, \dots, n)$  を  $L_2$  上の変数、 $\mathbf{x} = (x_1, x_2, \dots, x_n)$  を  $L^{L_2}$  上の変数ベクトルとする。

(定義 1) ここで扱われるブール関数  $F(\mathbf{x})$  は次のように定義される。

$$\begin{cases} F(\mathbf{x}) \triangleq \bigvee_{i=1}^s F_i(\mathbf{x}), \\ F_i(\mathbf{x}) \triangleq \prod_{j=1}^n x_j^{\varepsilon_{ij}}, (i=1, 2, \dots, s). \end{cases} \quad (1)$$

ここに  $\prod$  は論理積を表す。また、 $x_j^{\varepsilon_{ij}}, (i=1, 2, \dots, s; j=1, 2, \dots, n)$  は、 $\varepsilon_{ij} \in \{0, 1, t, f\}$  として、次式で定義される。

$$x_j^{\varepsilon_{ij}} \triangleq \begin{cases} \bar{x}_j & \text{if } \varepsilon_{ij}=0, \\ x_j & \text{if } \varepsilon_{ij}=1, \\ 1 & \text{if } \varepsilon_{ij}=t, \\ 0 & \text{if } \varepsilon_{ij}=f. \end{cases} \quad (2)$$

ここに  $\bar{\cdot}$  は否定を表す。

(定義 2) ここで扱われる擬似ブール関数  $y(\mathbf{x})$  は次のように定義される。

$$\begin{cases} y(\mathbf{x}) \triangleq \sum_{i=1}^m a_i Y_i(\mathbf{x}) \\ Y_i(\mathbf{x}) \triangleq \prod_{j=1}^n x_j^{\delta_{ij}}, (i=1, 2, \dots, m). \end{cases} \quad (3)$$

ここに、 $a_i, (i=1, 2, \dots, m)$  は整数、 $x_j^{\delta_{ij}}, (i=1, 2, \dots, m; j=1, 2, \dots, n)$  は、 $\delta_{ij} \in \{0, 1\}$  として、次式で定義される。

$$x_j^{\delta_{ij}} \triangleq \begin{cases} 1 & \text{if } \delta_{ij}=0, \\ x_j & \text{if } \delta_{ij}=1. \end{cases} \quad (4)$$

擬似ブール計画法のアルゴリズム<sup>3)</sup>は、ブール制約条件  $F(\mathbf{x})=0$  のもとで、擬似ブール関数で与えられる目的関数  $y(\mathbf{x})$  を最小化するが、その過程で、これらの式に対して、次の処理が必要である。

### (1) ブール関数の処理

式(1)で定義されるブール関数  $F(\mathbf{x})$  に含まれる変数の一部に 0 または 1 を代入して得られる式を、

$$\tilde{F}(\mathbf{x}) \triangleq \bigvee_{i=1}^s \tilde{F}_i(\mathbf{x}), \quad (5)$$

\* 積項が单一変数になれば、その変数の値が自動的に定まるという理由による。

\*\*  $\tilde{F}_i(\mathbf{x}) \triangleq \tilde{F}_j(\mathbf{x})$  で、式  $F_i(\mathbf{x})$  と  $F_j(\mathbf{x})$  の内部表現が等しいことを表す。この命題が成り立たないことを  $\tilde{F}_i(\mathbf{x}) \neq \tilde{F}_j(\mathbf{x})$  で表わす。なお、ここでいう式の簡略化には、相補律、吸収律などを適用するものは含まれない。

として、次の(i)～(iii)をブール関数の処理と呼ぶ。

- (i)  $\tilde{F}(\mathbf{x})$  を求ること、
- (ii)  $\tilde{F}_i(\mathbf{x}), (i=1, 2, \dots, s)$  が単一の変数からなるか否かの判定\*、

(iii)  $\tilde{F}(\mathbf{x})$  の簡略化、すなわち、

$$\tilde{F}_i(\mathbf{x}) \triangleq \tilde{F}_j(\mathbf{x}) \quad \text{if } i \neq j, i, j=1, 2, \dots, s$$

となるようにすること\*\*。

### (2) 擬似ブール関数の処理

式(3)で定義される擬似ブール関数  $y(\mathbf{x})$  に含まれる変数の一部に 0 または 1 を代入して得られる式を、

$$\tilde{y}(\mathbf{x}) \triangleq \sum_{i=1}^m a_i \tilde{Y}_i(\mathbf{x}), \quad (6)$$

として、次の(i), (ii)を擬似ブール関数の処理と呼ぶ。

- (i)  $\tilde{y}(\mathbf{x})$  を求ること、
- (ii)  $\tilde{y}(\mathbf{x})$  の簡略化、すなわち、

$$\tilde{Y}_i(\mathbf{x}) \triangleq \tilde{Y}_j(\mathbf{x}) \quad \text{if } i \neq j, i, j=1, 2, \dots, m,$$

となるようにすること。

## 2.2 式の内部表現

定義1、定義2によって定義されたブール関数および擬似ブール関数を計算機で処理するためには、それらを記憶装置内部で表現する必要がある。以下では、ここで用いた表現方法について述べる。

式(1)で与えられるブール関数  $F(\mathbf{x})$  は、これを構成する積項  $F_i(\mathbf{x}), (i=1, 2, \dots, s)$  の各々に対して、式(7)で定義される 2つの整数  $\sigma_i, \tau_i$  の順序対(以下では簡単に對といふ)、 $(\sigma_i, \tau_i)$  を対応させることにより、これらの並びとして式(9)のように表わされる。

$$\begin{cases} \sigma_i \triangleq \sum_{j \in I_i} 2^{j-1}, \\ \tau_i \triangleq \sum_{j \in J_i} 2^{j-1}. \end{cases} \quad (7)$$

ここに、 $I_i, J_i, (i=1, 2, \dots, s)$  は、 $I_i \triangleq \{1, 2, \dots, n\}$  として、次式で定義される。

$$\begin{cases} I_i \triangleq \{j \mid j \in I, (\varepsilon_{ij}=1) \vee (\varepsilon_{ij}=0)\}, \\ J_i \triangleq \{j \mid j \in I, (\varepsilon_{ij}=1) \vee (\varepsilon_{ij}=f)\}. \end{cases} \quad (8)$$

$$\{(\sigma_1, \tau_1), (\sigma_2, \tau_2), \dots, (\sigma_s, \tau_s)\}. \quad (9)$$

式(7)に示される整数の対の並びは、記憶装置内部では、整数型 2 次元配列などで表現される。以下では  $\sigma_i, \tau_i$  の 2進数表現をそれぞれ、 $\sigma_i, \tau_i$  と表わすことによこう。たとえば、積項  $F_i(\mathbf{x}) = x_1 x_2 \bar{x}_3 x_4 x_6$  に対して、 $x_2 = x = 1$  と値が与えられているとき、計算機内部では、この積項は、 $\sigma_i = 10101, \tau_i = 10001$  によって表わされる。

一方、式(3)で与えられる擬似ブール関数  $y(\mathbf{x})$  は、

$y(\mathbf{x})$  を構成する各積項  $Y_i(\mathbf{x})$  に対して、式(10)で定義される整数  $\eta_i$  と  $a_i$  との対の並びとして、式(12)のように表わされる。

$$\eta_i \triangleq \sum_{j \in K_i} 2^{j-1}, \quad (10)$$

ここに、 $K_i$  は、次式で定義される。

$$K_i \triangleq \{j \mid j \in I, \delta_{ij}=1\}. \quad (11)$$

$$\{(\eta_1, a_1), (\eta_2, a_2), \dots, (\eta_m, a_m)\} \quad (12)$$

以下では、 $\eta_i$  の2進数表現を  $\eta_i$  で表わす。

また、3.に述べるアルゴリズムの途中で現われる、未定要素を含む  $n$  次元ベクトル  $\mathbf{x}$  に対し、その内部表現として、式(13)で定義される2つの整数  $\xi, \theta$  の対  $(\xi, \theta)$  を対応させる。

$$\begin{cases} \xi \triangleq \sum_{j \in M} 2^{j-1}, \\ \theta \triangleq \sum_{j \in N} 2^{j-1}. \end{cases} \quad (13)$$

ここに、 $M, N$  はそれぞれ次式で定義される。

$$\begin{cases} M \triangleq \{j \mid j \in I, x_j=u\}, \\ N \triangleq \{j \mid j \in I, x_j=1\}. \end{cases} \quad (14)$$

ただし、 $x_j=u$  は、変数  $x_j$  の値が未定であることを示す。

以下、 $\xi, \theta$  の2進数表現をそれぞれ  $\xi, \theta$  で表わすことにしよう。たとえば、 $\mathbf{x}=(1, 0, u, 1, 0)$  は、 $x_1=x_4=1, x_2=x_5=0, x_3=u$  であることを示すが、この  $\mathbf{x}$  は計算機内部では、 $\xi=00100, \theta=10010$  によって表わされる。

### 2.3 式の処理

$F(\mathbf{x}), y(\mathbf{x})$  を構成する各項を 2.2 で述べた形で内部表現することによって、積項どうしの比較、積項に含まれる変数の一部への値の代入、積項が単一の変数からなるか否かの判定などは、計算機のビット処理機能を利用することで、以下のように、容易にかつ高速で実行される。

#### (1) 積項どうしの比較

$F_i(\mathbf{x}) \equiv F_j(\mathbf{x})$  であるか否か、および  $Y_i(\mathbf{x}) \equiv Y_j(\mathbf{x})$  であるか否かは、次の関係によって判定される。

$$(i) \quad F_i(\mathbf{x}) \equiv F_j(\mathbf{x}) \Leftrightarrow [\sigma_i = \sigma_j] \wedge [\tau_i = \tau_j], \quad (15)$$

$$(ii) \quad Y_i(\mathbf{x}) \equiv Y_j(\mathbf{x}) \Leftrightarrow \eta_i = \eta_j. \quad (16)$$

ここに、 $\Leftrightarrow$  は対等を、 $\wedge$  は論理積を表わす。

#### (2) $F_i(\mathbf{x})$ に含まれる変数の一部への値の代入

積項  $F_i(\mathbf{x})$  に含まれる変数の一部に値を代入して得られる積項を、

$$\tilde{F}_i(\mathbf{x}) \triangleq \prod_{j=1}^n x_j^{\xi_{ij}}, \quad (17)$$

で表わす。任意の  $j (j=1, 2, \dots, n)$  について変数  $x_j$  に

Table 1

$\varepsilon_{ij} \setminus c_j$	0	1	u
0 ( $\bar{x}_j$ )	t	f	0
1 ( $x_j$ )	f	t	1
t (1)	t	t	t
f (0)	f	f	f

与える値を  $c_j$  とし、 $x_j$  に値が与えられないことを  $c_j=u$  で表わすこととする。 $\varepsilon_{ij}$  と  $c_j$  との値の組み合せに対する  $\varepsilon_{ij}$  の値は Table 1 に与えられる。

Table 1 によれば、任意の積項  $F_i(\mathbf{x})$  の内部表現から  $\tilde{F}_i(\mathbf{x})$  の内部表現を導くことができる。たとえば、積項  $x_1 \cdot 1 \cdot \bar{x}_3 \cdot 1 \cdot x_5$  に対して、値  $(c_1, \dots, c_5) = (1, 0, u, 1, 0)$  が与えられたとき、得られる積項は  $1 \cdot 1 \cdot \bar{x}_3 \cdot 1 \cdot 0$ 、その内部表現は、 $\sigma_i=00100, \tau_i=00001$  となる。一般に、 $\tilde{F}_i(\mathbf{x})$  の内部表現  $\sigma_i, \tau_i$  は、 $F_i(\mathbf{x})$  の内部表現  $\sigma_i, \tau_i$  および  $\mathbf{x}$  の内部表現  $\xi, \theta$  から、式(18)によって導びかれる。(付録(1)参照。)

$$\begin{cases} \sigma_i = \xi \wedge \sigma_i, \\ \tau_i = (\theta \wedge \sigma_i) \oplus \tau_i. \end{cases} \quad (18)$$

ここに、 $\oplus$  は排他的論理和を表わし、各演算は要素(けた)ごとに行われるものとする。

更に、 $\tilde{F}_i(\mathbf{x}) \equiv 0$  あるいは  $\tilde{F}_i(\mathbf{x}) \equiv 1$  となるか否かは、式(19)によって知られる。(付録(2)参照。)

$$\begin{cases} (i) \quad \tilde{F}_i(\mathbf{x}) \equiv 0 \Leftrightarrow (\neg \sigma_i) \wedge \tau_i \neq 0, \\ (ii) \quad \tilde{F}_i(\mathbf{x}) \equiv 1 \Leftrightarrow \sigma_i = \tau_i = 0. \end{cases} \quad (19)$$

ここに、 $\neg$  は、各要素ごとの否定を表わし、0 は整数0の2進数表現である。

(3)  $Y_i(\mathbf{x})$  に含まれる変数の一部への値の代入 積項  $Y_i(\mathbf{x})$  に含まれる変数の一部に値を代入して得られる積項を、

$$\tilde{Y}_i(\mathbf{x}) \triangleq \prod_{j=1}^n x_j^{\xi_{ij}}, \quad (20)$$

で表わす。 $\delta_{ij}$  と変数  $x_j$  に与えられる値  $c_j$  との組み合せに対する  $\tilde{\delta}_{ij}$  の値は Table 2 に与えられる。積項  $\tilde{Y}_i(\mathbf{x})$  の内部表現  $\tilde{\eta}_i$  は、 $Y_i(\mathbf{x})$  の内部表現  $\eta_i$  および  $\mathbf{x}$  の内部表現から得られる  $\xi$  を用いて、式(21)から

Table 2

$\delta_{ij} \setminus c_j$	0	1	u
0 (1)	0	0	0
1 ( $x_j$ )	*	0	1

$\tilde{\delta}_{ij} = *$  denotes that  $\tilde{Y}_{ij}(\mathbf{x}) \equiv 0$

導びかれる\*.

$$\tilde{\eta}_i = \xi \wedge \eta_i. \quad (21)$$

また,  $\tilde{Y}_i(x) \equiv 0$  あるいは  $\tilde{Y}_i(x) \equiv 1$  となるか否かは, それぞれ, 式(22)によって知られる. (付録(3)参照.)

$$\begin{cases} (i) & \tilde{Y}_i(x) \equiv 0 \Leftrightarrow \neg(\xi \vee \theta) \wedge \eta_i \neq 0, \\ (ii) & \tilde{Y}_i(x) \equiv 1 \Leftrightarrow [\neg(\xi \vee \theta) \wedge \eta_i = 0] \\ & \wedge [\tilde{\eta}_i = 0] \end{cases} \quad (22)$$

(4) 積項が単一の変数からなるか否かの判定

与えられた積項  $F_i(x)$  の内部表現から得られる  $a_i$  が次の性質をみたせば,  $F_i(x)$  は単一の変数からなる.

$$\sigma_i = 2^{j-1} \text{ for some } j, j=1, 2, \dots, n. \quad (23)$$

この性質は, 3. に述べるハッシングの技法を用いる数式処理アルゴリズムできわめて有效地に用いられる.

### 3. 数式処理アルゴリズム

ここでは, 2.2 で述べた形式で内部表現された擬似ブール関数およびブール関数に対して, 2.1 で述べた処理を, ハッシングの技法を用いて効率良く行うアルゴリズムを示す. さらに, このアルゴリズムを従来のアルゴリズムと比較することで, その特徴を明らかにする.

#### 3.1 擬似ブール関数の処理アルゴリズム

擬似ブール関数  $y(x)$  の内部表現  $\{(\eta_1, a_1), (\eta_2, a_2), \dots, (\eta_m, a_m)\}$  を,  $\eta_i$  をキーとするハッシュ・テーブルとして実現する. ハッシュ関数としては, 式(24)で定義される  $h_s$  を用いる. 同じ  $h_s$  の値を持つ異なる  $\eta_i$  に対しては, リニア・リストを構成する.

$$h_s(\eta) = \text{mod}(\eta, p) + 1 \quad (24)$$

ここに,  $p$  は 2 を原始根とする素数である.

式(6)で表わされる擬似ブール関数  $y(x)$  の簡単化は以下に示されるアルゴリズム H (以下 Al. H と略す) によって行われる. このアルゴリズムに対する  $y(x)$  のデータ構造は, Fig. 1 のようにして与えられる.

#### (アルゴリズム H)

##### Step 1: [初期設定]

$$i \leftarrow 1; l \leftarrow 0; c' \leftarrow 0;$$

$\text{HEAD}(j) \leftarrow 0$  for  $j=1, 2, \dots, p$ ; Step 2 へ;

##### Step 2: [項が定数か否かの判定]

- (i)  $\tilde{Y}_i(x) \equiv 0$  ならば, Step 5 へ;
- (ii)  $\tilde{Y}_i(x) \equiv 1$  ならば,  $c' \leftarrow c' + a_i$  として Step 5 へ;

\* 付録(1)と同様にして導びかれる.

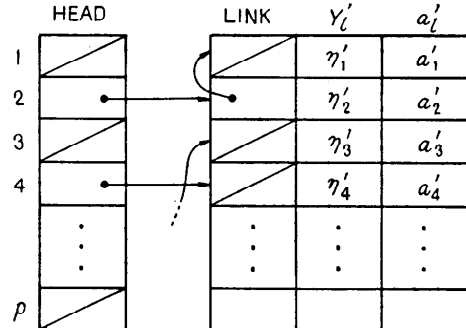


Fig. 1 Date Structure used in the Algorithm H

(iii) それ以外のとき, Step 3 へ;

Step 3: [同一項の除去]

Step 3.1:  $j \leftarrow h_s(\eta_i); k \leftarrow \text{HEAD}(j);$

Step 3.2: (i)  $k = 0$  ならば, Step 4 へ;

(ii)  $k \neq 0$  ならば, Step 3.3 へ;

Step 3.3: (i)  $Y'_k(x) \equiv \tilde{Y}_i(x)$  ならば,

$a'_{k+} \leftarrow a'_{k+} + a_i$  として Step 5 へ;

(ii)  $Y'_k(x) \neq \tilde{Y}_i(x)$  ならば,

$k \leftarrow \text{LINK}(k)$  として Step 3.2 へ;

Step 4: [項の格納]

$$l \leftarrow l + 1; Y'_l(x) \leftarrow \tilde{Y}_i(x); a'_{l+} \leftarrow a_i;$$

$\text{LINK}(l) \leftarrow \text{HEAD}(j); \text{HEAD}(j) \leftarrow l$ ; Step 5 へ;

Step 5: [アルゴリズムの終了の判定]

$i \leftarrow i + 1$  とする.

(i)  $i \leq m$  ならば, Step 2 へ;

(ii)  $i > m$  ならば, アルゴリズム終了;

$$y'(x) \triangleq c' + \sum_{i=1}^l a'_{i+} Y'_i(x) \quad (25)$$

が求める式である. □

このアルゴリズムに対して,  $y(x)$  を構成する積項どうしの比較にもとづく従来の処理アルゴリズム (以下ではアルゴリズム A, または略して Al. A と呼ぶ) は Al. H の Step 1, Step 3, Step 4 をそれぞれ以下のように変更して得られる.

Step 1: [初期設定]

$$i \leftarrow 1; l \leftarrow 0; c' \leftarrow 0; \text{Step 2 へ}; \square$$

Step 3: [同一項の除去]

Step 3.1: (i)  $l = 0$  ならば Step 4 へ;

(ii)  $l \neq 0$  ならば,  $k \leftarrow 1$  として Step 3.2 へ;

Step 3.2: (i)  $Y'_k(x) \equiv \tilde{Y}_i(x)$  ならば,

$a'_{k+} \leftarrow a'_{k+} + a_i$  として Step 5 へ;

(ii)  $Y'_i(\mathbf{x}) \neq \bar{Y}'_i(\mathbf{x})$  ならば, Step 3.3

へ;

Step 3.3:  $k \leftarrow k+1$  とする.(i)  $k \leq l$  ならば Step 3.2 へ;(ii)  $k > l$  ならば Step 4 へ; 図

Step 4: (項の格納)

 $l \leftarrow l+1$ ;  $Y'_i(\mathbf{x}) \leftarrow \bar{Y}'_i(\mathbf{x})$ ;  $a'_i \leftarrow a_i$ ; Step 5 へ; 図

### 3.2 ブール関数の処理アルゴリズム

ブール関数  $F(\mathbf{x})$  の数式処理は、擬似ブール関数の数式処理と同様に、 $F(\mathbf{x})$  の内部表現  $\{(\sigma_1, \tau_1), (\sigma_2, \tau_2), \dots, (\sigma_s, \tau_s)\}$  を、 $\sigma_i$  をキーとするハッシュ・テーブルとして実現することによって効率良く行われる\*. ただし、ブール関数の処理では、積項が単一の変数からなるか否かの判定が行われるが、これは、式(23)と整数の剰余類に関する次の性質を利用して容易に実現される。

(性質)\*\*  $p$  を 2 を原始根とする素数とすると、

$$2^i \not\equiv 2^j \pmod{p} \text{ for } i \neq j, i, j = 1, 2, \dots, p. \quad (26)$$

この性質と  $h_i$  の定義により、異なる単一の変数からなる積項どうしは、異なるハッシュ・コードを持つことになる。よって、式(27)で与えられるテーブル  $\text{BASE}(\cdot)$  を用意すれば、上記の判定は  $\sigma_i$  のハッシングに際して簡単に行われる。

$$\text{BASE}(i) \triangleq \begin{cases} 2^{j-1} & \text{if } i = h_p(2^{j-1}) \\ 0 & \text{otherwise} \end{cases} \quad (27)$$

ここに、 $i = 1, 2, \dots, p$ ;  $j = 1, 2, \dots, n$ ;  $p$  は  $n$  以上の 2 を原始根とする素数である。

## 4. アルゴリズムの計算時間の理論的評価

この章では、Al. H および Al. A の計算時間の理論的評価式を示し、更に、ある仮定のもとで、それぞれのアルゴリズムの計算時間の上限を求める。

### 4.1 計算時間の理論的評価式

式(3)の形式に従う目的関数\*\*\*  $y(\mathbf{x})$  に含まれる変数の一部に 0 または 1 の値を与え、さらに式の簡単化を行って、

$$y'(\mathbf{x}) \triangleq \sum_{i=1}^l a'_i Y'_i(\mathbf{x}) \quad (28)$$

が得られたとする。ただし、以下の解析では、初めに与えられる  $\{Y_i(\mathbf{x}) | i = 1, 2, \dots, m\}$  の中には、 $\bar{Y}_i(\mathbf{x}) \equiv$

\* 式(8)によると、 $\sigma_i$  には  $x_j$  と  $\bar{x}_j$  を区別する情報は含まれていないが、 $F(\mathbf{x})$  が積和形であることにより、相補律が陰に適用されるという理由で、 $\sigma_i$  がキーになりうる。

\*\* たとえば文献 5) 参照。

\*\*\* 数式処理の内容については、 $y(\mathbf{x}), F(\mathbf{x})$  とも本質的には同じであるから、以下の考察は主として  $y(\mathbf{x})$  について行う。

0 および  $\bar{Y}'_i(\mathbf{x}) \equiv 1$  となる積項は含まれないとする。このとき、両アルゴリズムの計算時間の一般的評価式は、次のように与えられる。

$$T = t_1 + m \cdot t_2 + T_3 + l \cdot t_4 + m \cdot t_5. \quad (29)$$

ここに、 $t_1, t_2, t_4, t_5$  は、それぞれアルゴリズムの Step 1, Step 2, Step 4, Step 5 を一回実行するのに要する時間 ( $l, m$  に依存しない定数) とする。 $T_3$  は、アルゴリズムが終了するまでに要する Step 3 の計算時間の総和を表わすが、その値は、扱われる目的関数  $y(\mathbf{x})$  に強く依存するので、一般的評価は困難である。 $t_1$  は、Al. A については定数、Al. H については、ハッシュ・テーブルの大きさの一次式として、

$$t_1 = a \cdot p + b \quad (30)$$

で表わされる。 $(a, b$  は定数)

### 4.2 計算時間の上限

両アルゴリズムの計算時間が最大となるのは、 $\bar{y}(\mathbf{x})$  が次の条件 C を満たす場合である。

[条件 C]  $\bar{y}(\mathbf{x}) = \sum_{i=1}^m a_i \bar{Y}'_i(\mathbf{x})$  として、

$$\bar{Y}'_i(\mathbf{x}) \neq 0 \wedge \bar{Y}'_i(\mathbf{x}) \neq 1 \text{ for all } i, 1 \leq i \leq m,$$

かつ、

$$\bar{Y}'_i(\mathbf{x}) \neq \bar{Y}'_j(\mathbf{x}) \text{ for all } i, j, 1 \leq i \leq j \leq m \quad \blacksquare$$

条件 C がなり立つ場合の両アルゴリズムの計算時間の上限と、その  $m$  (項数) に対する依存性が、以下のように求められる。

(1) アルゴリズム H のばあい

HEAD( $j$ )、( $j = 1, 2, \dots, p$ ) を始点とするリニア・リストの長さの期待値が、数式処理の各時点で  $j$  について一様であるとすると、条件 C のもとでの Step 3 の  $i$  回目の計算時間の期待値は、積項間の比較回数の期待値  $(i-1)/p$  を用いて、

$$c \cdot (i-1)/p + d \quad (c, d \text{ は定数}) \quad (31)$$

で与えられる。よって、Step 3 の計算時間の総和の期待値は、

$$T_H = \sum_{i=1}^m [c \cdot (i-1)/p + d]$$

$$= c \cdot (m-1) \cdot (m-2)/(2p) + d \cdot m \quad (32)$$

式(29), (30), (32)から、計算時間の上限の期待値  $T_H$  が次式のように与えられる。

$$\begin{aligned} T_H &= a \cdot p + b + m \cdot t_2 + c \cdot (m-1) \cdot (m-2)/(2p) + d \cdot m \\ &\quad + m \cdot t_4 + m \cdot t_5 \\ &= c \cdot (m-1) \cdot (m-2)/(2p) + (t_2 + t_4 + t_5 + d) \cdot m \\ &\quad + a \cdot p + b. \end{aligned} \quad (33)$$

$T_H$  を最小にする  $p$  の値  $p^*$  は、

$$\frac{\partial T_H}{\partial p} = -c \cdot (m-1) \cdot (m-2)/(2p^2) + a = 0$$

から,

$$p^* = \sqrt{c \cdot (m-1) \cdot (m-2)/(2a)} \quad (34)$$

として求められる。

実際には、 $\lambda$ は2を原始根とする素数に限られるので、 $m \gg 1$ の場合には、 $\lambda = \sqrt{c/(2a)}$ として、

$$p^* \approx \lambda \cdot m \quad (35)$$

となる $p^*$ をもとめ、 $p=p^*$ とすれば、 $T_H$ を最小にすることができる。このばあい、 $T_H$ の最小値 $T_{H\min}$ は、

$$T_{H\min} \approx (\sqrt{2ac} + t_2 + t_4 + t_5 + d) \cdot m + b. \quad (36)$$

すなわち、Al. H の計算時間の上限は $O(m)$ となることが知られる。

このことにより、与えられた $y(x)$ の項数 $m$ に応じて $p$ を動的に $p^*$ 設定する Al. H を、特にアルゴリズム H\* (Al. H\* と略す) と呼ぶ。

## (2) アルゴリズム A のばあい

Step 3 の $i$ 回目の実行時間は、条件 Cのもとでは、積項間の比較回数が $i-1$ となることから、

$$e \cdot i + g \quad (e, g \text{ は定数}), \quad (37)$$

で与えられる。よって、Step 3 の計算時間の総和は、

$$T_A = \sum_{i=1}^m (e \cdot i + g) \\ = e \cdot m \cdot (m-1)/2 + g \cdot m \quad (38)$$

計算時間の上限 $T_A$ は、次式で与えられる。

$$T_A = t_1 + m \cdot t_2 + e \cdot m \cdot (m-1)/2 + g \cdot m + m \cdot t_4 + m \cdot t_5 \\ = e \cdot m \cdot (m-1)/2 + (t_2 + t_4 + t_5 + g) \cdot m + t_1. \quad (39)$$

よって、 $m \gg 1$ の時には、Al. A の計算時間の上限は $O(m^2)$ であることがわかる。

## 5. 実験及びその結果の評価

### 5.1 実験の目的

実験は、実験 1 と実験 2 とからなり、実験 1 では、Al. H\* と Al. A とに対して、4. で評価された計算時間の上限の妥当性の検証と、両アルゴリズムの計算時間の比較を行う。実験 2 では、これらのアルゴリズムを用いて擬似ブール計画問題の求解ソフトウェア・システムを 2 つ実現し、両システムによる計算時間の比較を行う。

### 5.2 実験 1

一様乱数を用いて、条件 C をみたす 30 変数の擬似

\*  $\lambda \cdot m$  が 2 を原始根とする素数でない時には、 $\lambda \cdot m$  にもっとも近い 2 を原始根とする素数を $p^*$ とする。

\*\* 条件 C が満たされていれば、Al. A の計算時間は問題によらず一定である。

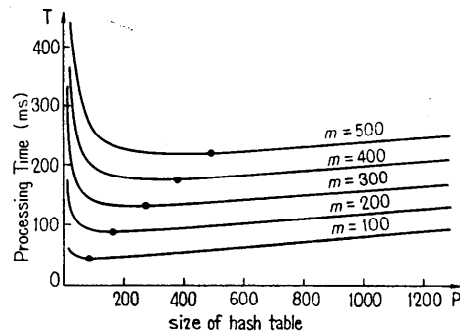


Fig. 2 Processing Time for  $y(x)$  by the Al. H  
• in this Fig. denotes the minimum of T.

ブール関数 $y(x)$ を発生させ、これに対して、2.1 で述べた処理を Al. H, Al. A によってほどこし、それに要する計算時間を測定した。ただし、 $y(x)$ の項数 $m$ は、 $m=100, 200, 300, 400, 500$ とし、Al. H については、 $m$ の各値について 20 通りの $y(x)$ について実験を行い\*\*, その平均値を求めた。

Fig. 2 に、 $\lambda$ を変化させた場合の Al. H の平均計算時間を示す。同図より、Al. H の計算時間の上限の評価式が妥当であることがわかる。すなわち、式(33)で、

$$\begin{cases} k_0 = c \cdot (m-1) \cdot (m-2)/2, \\ k_1 = a, \\ k_2 = (t_2 + t_4 + t_5 + d) \cdot m + b, \end{cases} \quad (40)$$

とおくと、

$$T_H = k_0/p + k_1 \cdot p + k_2 \quad (41)$$

の関数形を得る。これは、Fig. 2 の各曲線を適切に表現していると考えられ、従って、式(33)にもとづいて行った Al. H\* の存在の予測は正しかったことが結論される。

そこで、Fig. 2において最小の平均計算時間を与える $\lambda$ の値にもっとも近い 2 を原始根とする素数を、各 $m$ について求め、これを Al. H\* における $p^*$ とした。Al. A と Al. H\* の平均計算時間が Table 3 (次頁参照) に、それをグラフ化したものが Fig. 3 (次頁参照) に示されている。同図より Al. A と Al. H\* の平均計算時間はそれぞれ $O(m^2)$ ,  $O(m)$ であることがわかり、このことから計算時間の上限の評価式が妥当であることが知られる。また、Al. H\* を用いることによって、とくに $m$ の値が大きい場合、数式処理 (2.1 による) の時間が大幅に改善される ( $m=500$  で約 4% に) ことがわかる。

**Table 3** Processing Time for  $y(x)$  by the Al. H\* and the Al. A

m	P*	Processing Time (ms.)		Ratio (%)
		Al. H*	Al. A	
100	83	44	236	18.6
200	163	88	898	9.8
300	269	132	1,984	6.7
400	373	175	3,501	5.0
500	491	219	5,442	4.0

m: number of terms involved in  $y(x)$ ;

P\*: optimum size of Hash Table;

### 5.3 実験 2

擬似ブール計画法を実行するために Al. H\* と Al. A を用いて実現されたソフトウェア・システムをそれぞれ Sys. H, Sys. A と呼ぶことにする。一様乱数を用いて発生された 30 変数の擬似ブール計画問題を両システムによって解いた場合の、全ての最適解を得るまでに要した計算時間、及びそのうちの数式処理にかかる部分の計算時間を Table 4 に示す。Table 4において s, m は、それぞれ制約条件式の項数、目的関数の項数を表わし、表中の数値は、s, m の値の各組

**Table 4** Improvement Rate of System H (Average for 20 problems) unit: sec

s	時間	システム	20			60			100		
			A	H	改善度	A	H	改善度	A	H	改善度
0	全體 数式処理 比率↑ (%)	全體	3.41	3.40	0.3	95.5	88.8	7.2	414.0	360.0	12.6
		数式	0.386	0.379	4.2	12.7	6.05	53.2	90.9	37.1	61.1
		処理	11.2	10.9		13.4	6.76		20.7	9.41	
60	全體 数式処理 比率↑ (%)	全體	4.42	4.09	7.7	44.2	40.2	9.0	110.0	99.0	10.3
		数式	2.03	1.70	18.7	13.6	9.69	29.0	32.1	21.2	34.3
		処理	45.7	40.4		31.1	24.3		30.1	22.1	
120	全體 数式処理 比率↑ (%)	全體	7.23	4.41	39.3	16.2	12.1	27.3	20.4	15.4	26.1
		数式	5.33	2.51	53.3	9.07	4.80	48.4	9.98	5.00	53.0
		処理	73.9	56.7		56.4	39.9		49.4	31.2	

s:  $F(x)$  の項数; m:  $y(x)$  の項数; 比率↑: 数式処理の時間の全体の時間に対する比率;

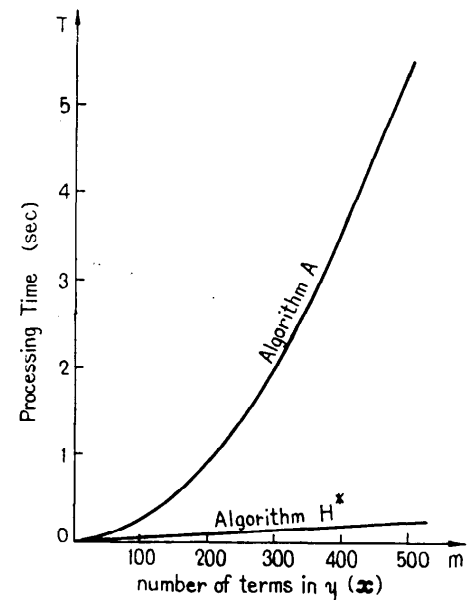
み合わせについて、それぞれ 20 問題を解いたときの平均計算時間である\*。

以下、システムの改善度として、次式で定義される I を用いる。

$$I \triangleq (T_A - T_H) / T_A \times 100 (\%) \quad (42)$$

ここに、 $T_H$ ,  $T_A$  はそれぞれ、Sys. H, Sys. A の要した計算時間を表わす。

Fig. 4 (次頁参照) にシステムの改善度を、Fig. 5 (次頁参照) に数式処理に要した時間のシステム全体の計算時間に対する割合を示す。Fig. 4 より、とくに

**Fig. 3** Comparison of Processing Time for  $y(x)$  by the Algorithm H\* and Algorithm A

数式処理に関しては、目的関数の項数  $m$  の増大とともに改善度が増す傾向が認められ、Fig. 2 にもとづく予測結果と一致する。

擬似ブール計画法のアルゴリズムは Branch and Bound 法にもとづいており、アルゴリズムの進行途次においては、原問題に含まれる変数の一部に値を与えることによって、いくつかの部分問題が生成される。これらの部分問題の大きさは、あきらかに原問題よりは小さい。従って、 $m$  の値の減少によって Al. H\* の効果が減少する Fig. 2 の事実を考慮すれば、Fig. 4 に示された処理時間の改善度は良好であるといえよう。

なお、現在のシステムでは、部分問題を生成すると

\* Table 2 における  $m$  の範囲が 100~500 にとられているのに対し、Table 4 ではそれが 20~100 になっているのは、使用した計算機システムの主記憶容量から来る制限による。

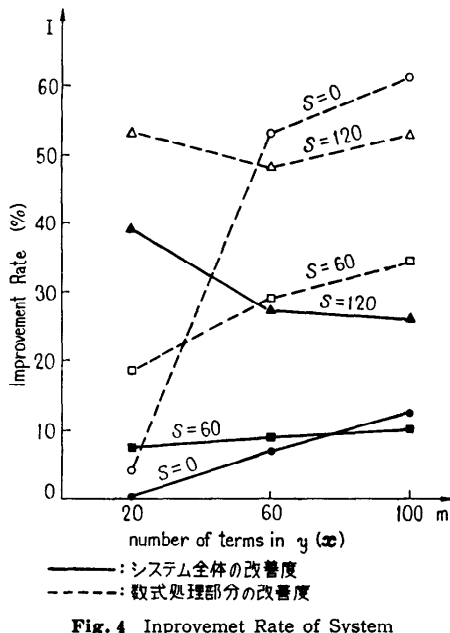


Fig. 4 Improvement Rate of System

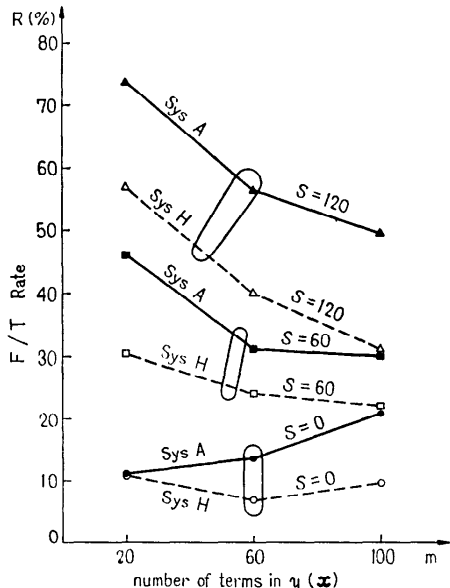


Fig. 5 F/T Rate

きには、かならず原問題に立ちかえって変数に値を与えるようにしているが、一つ前の部分問題から新しい部分問題をつくるようにシステムを改良すれば、Al. H\* の効果はさらに有効になると考えられる。

システム全体の改善度は、制約条件式の項数  $s$  が増大するにつれて増す傾向にあることが認められる。こ

れは、数式処理部分に要する計算時間のシステム全体の計算時間に対する割合 ( $F/T$  比と呼ぶ) が  $s$  の増大にともなって増すためであることが Fig. 5 から知られる。また、 $s=120$  のばあいに、システム全体の改良度が  $m$  の増大にともなって減少しているのは、 $m$  の増大にともなう  $F/T$  比の減少がこの場合とくに著しいためであることが同じく Fig. 5 より知られる。

## 6. あとがき

ハッシングの技法を用いて数式処理アルゴリズムを構成することにより、従来の方法では時間的な制約により取り扱うことができなかつた大規模な問題を効率よく解くことが可能になると期待される。

また、アルゴリズム  $H^*$  は、変数のべき乗を含む多項式の数式処理の範囲まで容易に拡張できるので、この種の数式処理に関して、かなりの有効さを持つことが予想される。

本研究には、名古屋大学工学部情報工学科の FACOM 230/38 FORTRAN-S が用いられた。

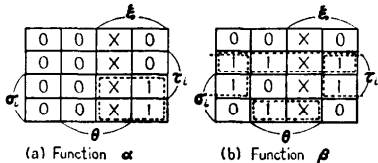
謝辞：末筆ながら、日頃御指導賜る本学の本多波雄教授ならびに、熱心に討論していただき、貴重な御意見をいただく福村研究室の諸氏に深謝します。

## 参考文献

- 1) D. E. Knuth: The Art of Computer Programming, Vol. 3, Sorting and Searching, Chap. 6.4, Addison-Wesley, (1973).
- 2) 吉田、稻垣、福村：Branch and Bound 法にもとづく擬似ブール計画法のアルゴリズム、電子通信学会雑誌、第 50 卷 10 号、pp. 231～238、(昭和 42 年 10 月)。
- 3) 今井、吉田、福村：目的関数と制約条件式の特徴を利用した擬似ブール計画法のアルゴリズムとその評価、昭和 50 年度電子通信学会全国大会講演論文集(分冊 6) 講演番号 1123、(昭和 50 年 3 月)。
- 4) 今井、吉田、福村：Hashing の技法を用いた数式処理アルゴリズム、昭和 50 年度情報処理学会第 16 回大会講演論文集、講演番号 247、(昭和 50 年 11 月)。
- 5) 高木：初等整数論講義、共立、(昭和 6 年)。

## 付録

- (1) 式(18)の導出について  
**Table 1** に定義される演算は、 $\epsilon_{ij}$  と  $x_j$  に与える値  $C_j$  との組に対する  $\epsilon_{ij}$  の値を与える。 $x$  の内部表現

Fig. A1 Veitch-Karnaugh map for Function  $\alpha$  and Function  $\beta$ 

$(\xi, \theta)$  および  $F_i$  の内部表現  $(\sigma_i, \tau_i)$  より  $\tilde{F}_i$  の内部表現  $(\delta_i, \tilde{\tau}_i)$  を得る関数を  $\alpha$  および  $\beta$  とする。すなわち、

$$\begin{cases} \delta_i = \alpha(\xi, \theta, \sigma_i, \tau_i), \\ \tilde{\tau}_i = \beta(\xi, \theta, \sigma_i, \tau_i). \end{cases} \quad (A1)$$

$\delta_i, \tilde{\tau}_i, \xi, \theta, \sigma_i, \tau_i$  の同一けたを考えると、 $\alpha$  および  $\beta$  はともに 4 变数のブール関数と考えることができ。関数  $\alpha, \beta$  を決定するため Veitch-Karnaugh 図表を Table 1 をもとに作り、Fig. A1 に示す。

Fig. A1 より関数  $\alpha, \beta$  はそれぞれ次式で与えられる。

$$\begin{cases} \alpha(\xi, \theta, \sigma_i, \tau_i) = \xi \wedge \sigma_i \\ \beta(\xi, \theta, \sigma_i, \tau_i) \end{cases} \quad (A2)$$

\*  $(\sigma_i)_j$  は  $\sigma_i$  の下位より  $j$  番目のビットを表す。 $(\tau_i)_j$  等についても同様である。

\*\*  $\Rightarrow$  は含意を表す。

$$\begin{aligned} &= (\neg \theta) \wedge \tau_i \vee (\neg \sigma_i) \wedge \tau_i \vee \theta \wedge \sigma_i \wedge (\neg \tau_i) \\ &= \neg (\theta \wedge \sigma_i) \wedge \tau_i \vee \theta \wedge \sigma_i \wedge (\neg \tau_i) \\ &= (\theta \wedge \sigma_i) \oplus \tau_i. \end{aligned}$$

### (2) 式(19)の導出

$$\begin{aligned} F_i(x) = \prod_{j=1}^n x_j^{\varepsilon_{ij}} \text{ とすると, 次の命題が成り立つ*.} \\ [F_i(x) \equiv 0] \Leftrightarrow [\exists j][1 \leq j \leq n \wedge x_j^{\varepsilon_{ij}} = 0] \\ \Leftrightarrow [\exists j][1 \leq j \leq n \wedge \varepsilon_{ij} = f] \\ \Leftrightarrow [\exists j][1 \leq j \leq n \wedge (\sigma_i)_j = 0 \wedge (\tau_i)_j = 1] \\ \Leftrightarrow [(\neg \sigma_i) \wedge \tau_i \neq 0]. \end{aligned} \quad (A3)$$

$$[F_i(x) \equiv 1] \Leftrightarrow [\forall j][1 \leq j \leq n \Rightarrow x_j^{\varepsilon_{ij}} = 1]^{**}$$

$$\begin{aligned} \Leftrightarrow [\forall j][1 \leq j \leq n \Rightarrow \varepsilon_{ij} = t] \\ \Leftrightarrow [\sigma_i = 0 \wedge \tau_i = 0]. \end{aligned} \quad (A4)$$

### (3) 式(22)の導出

$$\begin{aligned} Y_i(x) = \prod_{j=1}^n x_j^{\delta_{ij}}, \tilde{Y}_i(x) = \prod_{j=1}^n x_j^{\tilde{\delta}_{ij}} \text{ とすると, 次の} \\ \text{命題が成り立つ。} \end{aligned}$$

$$\begin{aligned} [\tilde{Y}_i(x) \equiv 0] \Leftrightarrow [\exists j][1 \leq j \leq n \wedge (\delta_{ij} = 1) \wedge (c_j = 0)] \\ \Leftrightarrow [\exists j][1 \leq j \leq n \wedge ((\eta_i)_j = 1) \wedge ((\xi)_j = 0) \wedge ((\theta)_j = 0)] \\ \Leftrightarrow [(\neg \xi) \wedge (\neg \theta) \wedge \eta_i \neq 0] \\ \Leftrightarrow [\neg (\xi \vee \theta) \wedge \eta_i \neq 0]. \end{aligned} \quad (A5)$$

(昭和 51 年 6 月 30 日受付)